

# РОЛЬ ЗАЛЕЧИВАНИЯ В ЦИКЛИЧЕСКОМ НАГРУЖЕНИИ LiF С ТРЕЩИНОЙ

*M.A.Рувинский, О.Г.Сергеева, И.М.Фомин*

Ростовский-на-Дону институт автоматизации и технологии машиностроения  
Поступило в Редакцию 13 июля 1994 г.

Известно, что несплошности — трещины, поры в ионных кристаллах, металлах, полупроводниках — способны залечиваться [1–3]. Закрытие трещины происходит и при циклическом нагружении — в фазе сжатия или при уменьшении растягивающих усилий. При этом смыкание берегов раскола до механического контакта и сжимающие нагрузки создают условия, способствующие возможному частичному залечиванию трещины [4].

Целью настоящей работы явилось изучение возможности восстановления сплошности при циклическом нагружении, а также исследование влияния этого процесса на усталостную прочность на примере LiF — модельного материала для исследования процессов разрушения, пластической деформации, залечивания трещин. Имеются работы, описывающие пластическую деформацию и разрушение LiF при циклических нагрузках [5,6]. Однако в этих экспериментах образцы LiF не имели макротрещин. В данной статье излагаются результаты работы с монокристаллами фтористого лития, имеющими макроскопические трещины спайности.

Монокристаллические образцы LiF размером  $50 \times 15 \times 3$  мм с трещиной длиной 20–25 мм вклеивались в захваты установки, включающей механическое устройство для нагружения, тензостанцию ТА-5 с датчиками сопротивления и управляющую микроЭВМ «Искра-1256». Нагружение образца производилось перпендикулярно плоскости трещины, в ходе испытаний фиксировалась величина и знак текущей нагрузки, количество циклов нагружения и наибольшие уровни нагрузок растяжения и сжатия. Для исследования испытанных образцов использовалась оптическая микроскопия, дислокационная структура выявлялась методом избирательного травления (травитель — водный раствор  $\text{FeCl}_3$ ).

Количество циклов нагрузки до разрушения образца варьировалось от 2 до  $10^4$ . Максимальный уровень сжимающих напряжений достигал 5.37 МПа, растягивающих — 1.8 МПа. Коэффициент асимметрии цикла  $R = P_{\min}/P_{\max}$  (где  $P_{\min}$  и  $P_{\max}$  — минимальная и максимальная нагрузка в цикле) варьировался от –4.8 до 0.7 для различных образцов. В ходе испытаний практически не наблюдалось подрастание исходной трещины. Как показали микроскопические исследования, рост трещины не превышал нескольких сот микрон и был связан с изменением формы фронта исходной трещины. Разрушение образца происходило в фазе растяжения при скачкообразном росте исходной трещины. Такой характер разрушения объясняется относительно низкой пластичностью используемого материала.

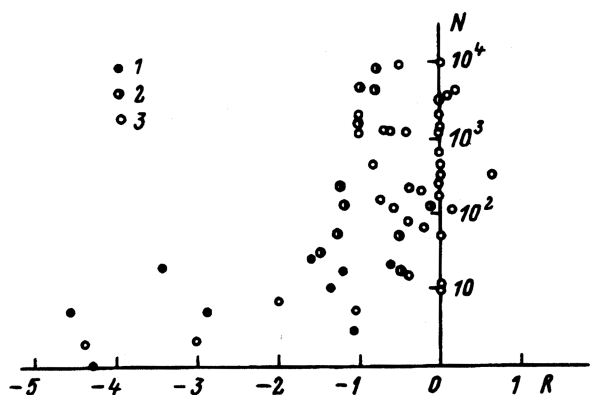


Рис. 1. Зависимость числа циклов до разрушения образца ( $N$ ) от коэффициента асимметрии цикла ( $R = P_{\min}/P_{\max}$ ).

1 — в полуцикле сжатия происходит частичное залечивание трещины;  
2 — фрагментарное залечивание в области фронта трещины, не связанное с циклированием; 3 — залечивания не наблюдалось.

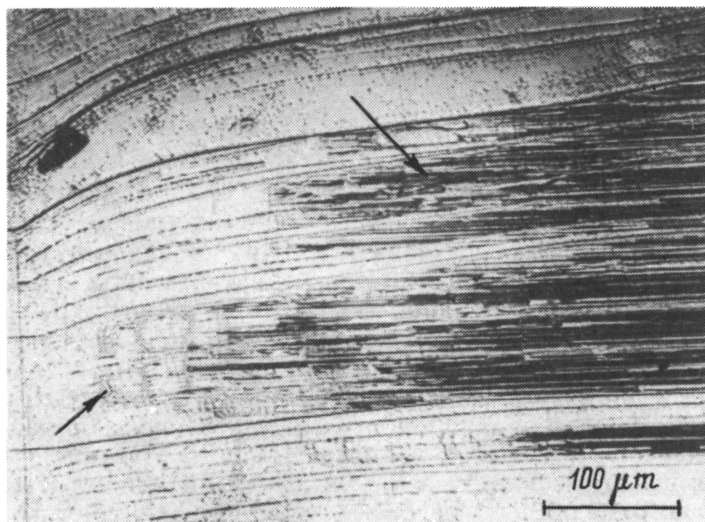


Рис. 2. Фрактографическая поверхность образца после избирательного травления.

Образец разрушился после 23 циклов нагружения с  $R = -2$ . Стрелками указаны граница закрытия и залечивавшаяся в ходе испытаний область.

Результаты испытаний серии образцов можно обобщить следующим образом. При пульсирующем растяжении, а также при знакопеременном нагружении с преобладанием растягивающих нагрузок число циклов до разрушения образца определяется приложенными нагрузками и при растягивающих напряжениях  $\lesssim 0.5$  МПа составляет более  $10^4$ . В случае превалирования усилий сжатия выносливость весьма мала ( $\leq 50$  циклов) и с ростом сжимающих напряжений уменьшается. Таким образом, число циклов нагружения до разрушения образца определяется коэффициентом асимметрии цикла  $R$  (рис. 1). При близких уровнях растягивающих напряжений образцы, испытанные при  $R \geq -1$ , выдерживали в десятки и сотни раз большее количество циклов, чем в случае преобладаний усилий сжатия ( $R < -1$ ).

Микроскопическое исследование фрактографической поверхности разрушения показало, что для образцов с  $R < -1$  были характерны закрытие и частичное (островковое) залечивание трещины (рис. 2). Области закрытия выделяются после избирательного травления фрактографической поверхности цепочками выходов дислокаций, повторяющими контуры ступеней скола. Размеры областей закрытия трещины зависели от напряжений сжатия и рельефа фрактографии и составляли от  $5-10 \mu\text{m}$  до  $3-5 \text{ mm}$ . Со стороны устья трещины область закрытия часто окаймлялась несколькими дугообразными границами отступающей трещины, различными по размерам и форме. Дислокационная структура этих границ аналогична пластической зоне в вершине стоящей трещины. Единая, распространяющаяся на всю ширину образца, граница закрытия практически никогда не формировалась. Обычно область локализации дуг, выщуклостью обращенных в сторону устья трещины, располагается между ступенями скола фрактографии в районах восстановления контакта берегов.

Участки, на которых в фазе сжатия (при давлениях 2–5 МПа) происходило восстановление связей между берегами трещины, выделяются на фрактографии особым рельефом. Рисунок первоначальных ступеней скола здесь прерывается из-за того, что поверхность вторичного разрыва не совпадает с прежней плоскостью трещины. Островки залечивания имеют весьма разнообразные формы и размеры (от 1–2 до  $100 \mu\text{m}$ ) и составляют 5–60 % площади области смыкания.

Отрицательное влияние процесса залечивания на выносливость образцов с трещиной, возможно, объясняется тем, что залеченные участки трещины разрушаются после относительно небольшого количества циклов нагружения. Формирующаяся на границе закрытия и залечивания пластическая зона в силу своей прерывистости, неоднородности по ширине образца не может служить эффективным тормозом распространения разрушения, таким как пластическая зона в вершине трещины. Разрыв залеченных участков приводит к скачкообразному росту напряжений в области вершины трещины. Поскольку на предшествующих этапах нагружения пластическая зона здесь не развивалась (об этом свидетельствует уменьшение плотности дислокаций в вершине выключенного из процесса нагружения участка трещины), происходит прорыв трещины и полное разрушение образца.

## Список литературы

- [1] Шаскольская М.П., Ван Янь-Вэнь, Гу Шу-Чжао // Кристаллография. 1961. Т. 6. № 4. С. 604–613.
- [2] Гегузин Я.Е. Физика спекания. 2-изд., перераб. и доп. М.: Наука, 1984. 312 с.
- [3] Лариков Л.Н. Залечивание дефектов в металлах. Киев: Наук. думка, 1980. 219 с.
- [4] Schijve J. // Eng. fracture. Mech. 1979. V. 11. P. 167–221.
- [5] Majumdar B.S., Burns S.J. // Acta Met. 1981. V. 29. P. 425–436.
- [6] Majumdar B.S., Burns S.J. // Acta Met. 1982. V. 30. P. 1743–1760.

УДК 537. 634.9

© Физика твердого тела, том 37, № 2, 1995  
Solid State Physics, vol. 37, N 2, 1995

## СПИН-ПЕРЕОРИЕНТАЦИОННЫЙ ФАЗОВЫЙ ПЕРЕХОД В СОЕДИНЕНИИ $TbFe_{11}Ti$

С.А. Никитин, Т.И. Иванова, В.В. Зубенко,  
И.В. Телегина, И.С. Терешина

Московский государственный университет им. М.В.Ломоносова

Поступило в Редакцию 13 июля 1994 г.

В настоящей работе изучено явление спиновой переориентации в соединении  $TbFe_{11}Ti$ . Хотя целый ряд как экспериментальных, так и теоретических работ [1–7] посвящен изучению этого явления в  $TbFe_{11}Ti$ , данные о температуре спин-переориентационного перехода  $T_{SR}$  и характере спиновой переориентации крайне противоречивы.

Расхождение экспериментальных данных по величине  $T_{SR}$  возможно связано с тем, что  $T_{SR}$  в большей части работ [1–6] определялась по аномалии температурной зависимости магнитной восприимчивости для ориентированных порошковых образцов, в которых наблюдался большой и плохо контролируемый разброс осей легкого намагничивания (ОЛН) отдельных частиц порошка. Анализ литературных данных показывает, что более надежные данные о характере спин-переориентационного перехода могут быть получены из измерений температурной зависимости констант магнитной анизотропии монокристаллических образцов.

Целью настоящей работы явилось изучение спин-переориентационного перехода в монокристалле  $TbFe_{11}Ti$  с помощью измерения и последующего анализа экспериментальных кривых вращающегося механического момента, действующего на монокристалл соединения  $TbFe_{11}Ti$  в магнитном поле.

Технология получения монокристаллов и методика измерений описаны ранее [8]. Для магнитных измерений были взяты образцы, имеющие разориентировку монокристаллических блоков в пределах одного градуса. Наиболее крупный образец имел форму, близкую к диску диаметром около 2 мм и толщиной в среднем 0.4 мм. Кристаллографическая ориентировка образца выявила расположение в плоскости диска направлений [001] и [110].

Кривые механических вращающих моментов для монокристалла  $TbFe_{11}Ti L(\varphi)$ , где  $\varphi$  — угол между осью [001] и полем  $H$ , снимались на магнитном аизометре в интервале температур 78–600 К в магнитных